

DOI: 10.13718/j.cnki.xdzk.2019.08.011

新型杂环膦酸酯衍生物的合成与生物活性^①

胡仕琴, 樊玲玲, 刘静姿, 何彬,
沈祥春, 廖尚高, 李勇军

贵州医科大学 药学院/贵州省药物制剂重点实验室/
民族药与中药开发应用教育部工程研究中心, 贵阳 550004

摘要: 为了获得广谱、高效的活性先导物, 我们在前期研究工作的基础上, 结合药物设计原理, 采用简便方法合成了系列新型杂环膦酸酯衍生物, 其结构经 IR, (¹H, ¹³C, ³¹P, ¹⁹F)NMR 和 HRMS(ESI)等确证与表征。生物活性测试结果表明, 部分化合物具有抗大肠杆菌、铜绿假单胞杆菌及金黄色葡萄球菌等活性, 尤其是化合物 A₄, A₈, A₂₂, A₂₄, A₂₇ 和 A₂₈ 抗菌活性好, 与对照药剂氨苄西林(Ampicillin)的 MIC 接近或相当。同时, 发现部分化合物具有抑制肿瘤细胞增殖的作用, 其中化合物 A₂₄ 和 A₂₈ 分别对人结肠癌细胞 HT29 和人肺癌细胞 A549 的 IC₅₀ 为 18.0±0.7 μmol/L 和 17.1±1.3 μmol/L, 接近对照药 SAHA (IC₅₀ 分别为 14.3±1.1 μmol/L 和 12.5±1.8 μmol/L)。在此基础上研究其构效关系, 对进一步结构改造与优化具有十分重要的意义。

关 键 词: 杂环; 脲酸酯; 合成; 抗菌活性; 抗癌活性

中图分类号: O626

文献标志码: A

文章编号: 1673-9868(2019)08-0064-10

杂环化合物因其具有种类繁多、结构多样和生物活性广泛等特点, 不仅普遍存在于天然药物分子中, 同时在人工合成化学药物中也被广泛应用^[1-2]。据统计, 目前临床使用的 90%以上的药物为杂环化合物, 因此, 从大量的杂环化合物中寻找具有高疗效、低毒性、容易获得的候选物仍然是当前新药研发的热点之一^[3-4]。另一方面, 含磷化合物广泛的生物活性及多变的结构类型一直受到人们的关注, 许多天然产物药物分子以及合成药物都含有磷原子。近年来本课题组先后设计合成一系列含膦酸酯、膦酰基、硫脲膦酸酯类化合物, 发现不同系列化合物表现出抗病毒^[5-8]、抗肿瘤^[9-12]、杀菌^[13-14]等生物活性。其中 α-氨基膦酸酯, 作为天然氨基酸的含磷类似物, 已成为有机磷化学发展的重要组成部分, 在药物合成中扮演着重要的角色, 是一些药物合成的关键中间体。人们通过对其合成方法^[15-17]与生物活性^[18-21]的研究, 发现其对肾素合成酶、HIV 酶、FPT 酶、EPSP 合成酶及高血压蛋白原酶等具有抑制作用^[15,17-18], 从而表现出多种重要的生理活性, 广泛应用于医药和农药领域。由此, 为了拓宽化合物生物活性并寻找到高活性先导物, 基于前期的研究工作^[7-13], 我们将不同杂环引入氨基膦酸酯中, 并优化反应条件, 合成了一系列新型杂环膦酸酯衍生物 28 个, 其结构均经 IR, (¹H, ¹³C, ³¹P, ¹⁹F)NMR 和 HRMS(ESI)等确证与表征, 合成路线见图 1。生物活性测试结果表明, 部分化合物具有抗大肠杆菌、绿脓杆菌或金黄色葡萄球菌等活性; 同时, 发现化合

① 收稿日期: 2019-04-10

基金项目: 国家自然科学基金项目(81160385); 贵州省科技厅项目(黔科合 SY 字[2012]3103); 贵州省教育厅项目(黔省专合字[2012]89 号); 贵阳医学院基金项目(YJ 2014-17)。

作者简介: 胡仕琴(1991-), 女, 硕士研究生, 主要从事药物合成的研究。

通信作者: 刘静姿, 博士, 教授。

物 A_{16} 、 A_{24} 、 A_{28} 对肿瘤细胞的抑制活性较好, 与对照药剂辛二酰苯胺异羟肟酸(SAHA)接近。在此基础上研究其构效关系, 对进一步结构改造与优化具有十分重要的意义。

1 实验部分

1.1 仪器与试剂

B11-1 型磁力搅拌器, 上海司乐仪器有限公司; N-110 型旋转蒸发仪, 上海爱朗仪器有限公司; X-4 型显微熔点测定仪, 上海易测仪器设备有限公司; Shimadzu IR Prestige-21 型傅立叶红外光谱测定, 日本岛津公司(KBr 压片法); JEOL ECX400 型 400 MHz 核磁共振仪, 日本电子株式会社(TMS 为内标, CDCl_3 或 $\text{DMSO}-d_6$ 为溶剂); UPLC-QTOF Xevo G2-XS 电喷雾四级杆串联飞行时间质谱仪, 美国沃特世公司。所用试剂均为市售 AR 或 CP 级, 使用前经常规方法处理。

1.2 化合物的合成

1.2.1 中间体 4 的合成

参考文献[6-7, 22]方法合成中间体 4, 其理化数据与文献报道相符, 合成路线见图 1。

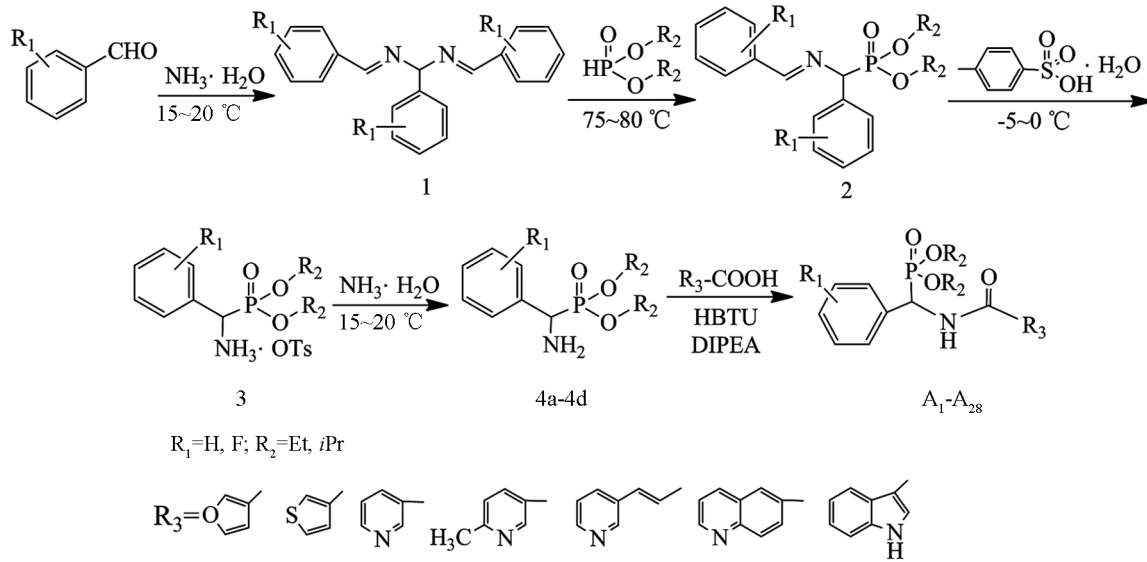


图 1 目标化合物 $\text{A}_1\text{-A}_{28}$ 的合成

1.2.2 目标物 A 的合成

在 50 mL 三口瓶中加入 0.5 mmol 杂环甲酸化合物(固体), 用 5 mL 无水干燥 THF 溶解后加 O-苯并三氮唑-四甲基脲六氟磷酸酯(HBTU 0.5 mmol, 1 eq), 混合均匀后再加催化剂 N-N-二异丙基乙胺(DIPEA 1 mmol, 2 eq)及中间体 4(0.5 mmol)。在油浴加热保持微沸腾(66 °C 左右)中回流并搅拌反应, 底物由浑浊变为澄清, 以 TLC 跟踪反应 5~6 h 后停止反应。粗产物经薄层色谱($\text{CH}_2\text{Cl}_2/\text{C}_2\text{H}_5\text{OH}/\text{NH}_3 \cdot \text{H}_2\text{O}$ 为 10/1/0.1)分离纯化得到目标产物 $\text{A}_1\text{-A}_{28}$, 合成路线见图 1, 结构通式见图 2, 取代基、产率与熔点结果见表 1。

1.2.3 部分目标化合物 A 的核磁、高分辨质谱数据

O, O'-二异丙基- α -(4-氟苯基)- α -(3-呋喃甲酰胺基)甲膦酸酯(A_4): ^2H NMR(400 MHz, CDCl_3) δ : 8.01(s, 1H, NH), 7.57~7.35(m, 4H, ArH), 6.98(t, $J=8.2\text{Hz}$, 2H, ArH), 6.73(s, 1H, ArH), 5.61(dd, $J=21.9, 9.4\text{Hz}$, 1H, NCH-P), 4.72~4.46(m, 2H, 2CH), 1.31(d, $J=6.1\text{Hz}$, 3H, CH_3), 1.27~1.22(m, 6H, 2CH₃), 0.92(d, $J=6.1\text{Hz}$, 3H, CH_3); ^{13}C NMR(101 MHz, CDCl_3) δ : 162.1,

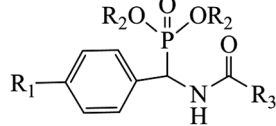


图 2 目标化合物结构通式

145.4, 143.7, 131.6, 130.4, 130.3, 130.3, 122.0, 115.6, 115.4, 108.7, 72.6, 72.5, 49.2, 24.3, 24.2, 23.9, 23.2; ^{19}F NMR(376 MHz, CDCl_3) δ : -113.9 mg/kg; ^{31}P NMR(162 MHz, CDCl_3) δ : 20.3 mg/kg; HRMS(ESI) $\text{C}_{18}\text{H}_{23}\text{FNNO}_5\text{P}[\text{M}+\text{H}]^+$ 理论值: 384.137 9, 实际值: 384.137 6.

表1 目标化合物的取代基及相关物理数据

化合物	取代基			性状	产率/%	熔点/℃
	R_1	R_2	R_3			
A ₁	H	Et	3-呋喃基	浅黄色固体	82	145~150
A ₂	H	<i>i</i> Pr	3-呋喃基	浅黄色固体	82	137~138
A ₃	F	Et	3-呋喃基	浅黄色固体	72	183~185
A ₄	F	<i>i</i> Pr	3-呋喃基	浅黄色固体	74	135~136
A ₅	H	Et	3-噻吩基	白色固体	85	110~112
A ₆	H	<i>i</i> Pr	3-噻吩基	白色固体	83	137~138
A ₇	F	Et	3-噻吩基	白色固体	80	101~102
A ₈	F	<i>i</i> Pr	3-噻吩基	白色固体	77	126~127
A ₉	H	Et	3-吡啶基	白色固体	87	204~205
A ₁₀	H	<i>i</i> Pr	3-吡啶基	浅黄色固体	84	119~120
A ₁₁	F	Et	3-吡啶基	浅黄色固体	80	113~114
A ₁₂	F	<i>i</i> Pr	3-吡啶基	浅黄色固体	83	135~136
A ₁₃	H	Et	6'-甲基-3-吡啶基	白色固体	88	148~149
A ₁₄	H	<i>i</i> Pr	6'-甲基-3-吡啶基	白色固体	81	170~171
A ₁₅	F	Et	6'-甲基-3-吡啶基	浅黄色固体	71	124~125
A ₁₆	F	<i>i</i> Pr	6'-甲基-3-吡啶基	浅黄色固体	78	143~144
A ₁₇	H	Et	E-3-吡啶丙烯基	浅黄色固体	93	129~130
A ₁₈	H	<i>i</i> Pr	E-3-吡啶丙烯基	白色固体	95	177~178
A ₁₉	F	Et	E-3-吡啶丙烯基	白色固体	86	144~145
A ₂₀	F	<i>i</i> Pr	E-3-吡啶丙烯基	浅黄色固体	83	127~129
A ₂₁	H	Et	6-喹啉基	白色固体	86	138~139
A ₂₂	H	<i>i</i> Pr	6-喹啉基	白色固体	89	187~188
A ₂₃	F	Et	6-喹啉基	浅黄色固体	80	162~163
A ₂₄	F	<i>i</i> Pr	6-喹啉基	浅黄色固体	72	143~144
A ₂₅	H	Et	(1H)-3-吲哚基	白色固体	79	203~204
A ₂₆	H	<i>i</i> Pr	(1H)-3-吲哚基	浅黄色固体	81	219~220
A ₂₇	F	Et	(1H)-3-吲哚基	白色固体	76	195~197
A ₂₈	F	<i>i</i> Pr	(1H)-3-吲哚基	白色固体	73	212~213

O, O'-二异丙基- α -(4-氟苯基)- α -(6-甲基-3-吡啶甲酰胺基)甲膦酸酯(A₁₆): ^2H NMR(400 MHz, CDCl_3) δ : 8.94(s, 1H, ArH), 8.33~8.18(m, 1H, ArH), 7.99(dd, $J=8.1, 1.5\text{Hz}$, 1H, NH), 7.66~7.44(m, 2H, ArH), 7.10(d, $J=8.0\text{Hz}$, 1H, ArH), 6.95(t, $J=8.1\text{Hz}$, 2H, ArH), 5.64(dd, $J=21.8, 9.2\text{Hz}$, 1H, NCH-P), 4.76~4.38(m, 2H, 2CH), 2.53(d, $J=1.2\text{Hz}$, 3H, CH_3), 1.27(dd, $J=6.1, 1.3\text{Hz}$, 3H, CH_3), 1.24~0.86(m, 9H, 3 CH_3); ^{13}C NMR(101 MHz, CDCl_3) δ : 165.6, 161.9, 148.3, 135.7, 131.4, 130.5, 130.4, 130.3, 126.9, 122.8, 115.6, 115.4, 72.6, 72.5, 49.2, 24.3. ^{19}F NMR(376 MHz, CDCl_3) δ : -113.8 mg/kg; ^{31}P NMR(162 MHz, CDCl_3) δ : 19.9 mg/kg; HRMS(ESI) $\text{C}_{20}\text{H}_{26}\text{FN}_2\text{O}_4\text{P}[\text{M}+\text{H}]^+$ 理论值: 409.168 9, 实际值: 409.169 2.

O, O'-二异丙基- α -苯基- α -(6-喹啉甲酰胺基)甲膦酸酯(A₂₂): ²H NMR(400 MHz, CDCl₃) δ : 8.96 (dd, J=4.2, 1.7 Hz, 1H, ArH), 8.34(d, J=1.6 Hz, 1H, ArH), 8.19~8.15(m, 1H ArH), 8.13~8.10(m, 2H ArH, NH), 7.87(dd, J=9.1, 4.5 Hz, 1H, ArH), 7.62~7.57(m, 2H, ArH), 7.44(dd, J=8.3, 4.2 Hz, 1H, ArH), 7.36~7.27(m, 3H, ArH), 5.77~5.67(m, 1H, NCH-P), 4.782~4.34(m, 2H, 2CH), 1.31(d, J=6.2 Hz, 3H, CH₃), 1.25(d, J=6.2 Hz, 3H, CH₃), 1.19(d, J=6.2 Hz, 3H, CH₃), 0.83(d, J=6.2 Hz, 3H, CH₃); ¹³C NMR(101 MHz, CDCl₃) δ : 166.4, 152.1, 149.4, 137.3, 135.6, 132.0, 129.9, 128.7, 128.7, 128.6, 128.3, 128.3, 128.1, 127.7, 127.6, 122.0, 72.7, 50.7, 24.3; ³¹P NMR(162 MHz, CDCl₃) δ : 20.4 mg/kg; HRMS(ESI) C₂₃H₂₇N₂O₄P[M+H]⁺ 理论值: 427.177 8, 实际值: 427.178 7.

O, O'-二异丙基- α -(4-氟苯基)- α -(6-喹啉甲酰胺基)甲膦酸酯(A₂₄): ²H NMR(400 MHz, CDCl₃) δ : 8.97~8.93(m, 1H, ArH), 8.34(s, 1H, ArH), 8.12(m, 4H, ArH, NH), 7.63~7.43(m, 3H, ArH), 7.00(dd, J=12.1, 4.8 Hz, 2H, ArH), 5.77~5.66(m, 1H, NCH-P), 4.76~4.37(m, 2H, 2CH), 1.28(dd, J=6.2, 1.6 Hz, 3H, CH₃), 1.21(m, 6H, 2CH₃), 0.88(dd, J=6.2, 1.3 Hz, 3H, CH₃); ¹³C NMR(101 MHz, CDCl₃) δ : 166.6, 152.1, 149.3, 137.3, 131.9, 131.6, 131.5, 130.5, 130.4, 129.8, 128.3, 127.6, 122.0, 115.7, 115.5, 72.7, 72.6, 49.9, 24.3; ¹⁹F NMR(376 MHz, CDCl₃) δ : -113.6 mg/kg; ³¹P NMR(162 MHz, CDCl₃) δ : 20.0 mg/kg; HRMS(ESI) C₂₃H₂₆FN₂O₄P[M+H]⁺ 理论值: 445.169 8, 实际值: 445.169 2.

O, O'-二乙基- α -(4-氟苯基)- α -(3-吲哚甲酰胺基)甲膦酸酯(A₂₇): ²H NMR(400 MHz, CDCl₃) δ : 9.60(s, 1H, ArH), 8.04(d, J=7.4 Hz, 1H, NH), 7.78(s, 1H, ArH), 7.50(d, J=6.7 Hz, 2H, ArH), 7.34(d, J=7.6 Hz, 1H, ArH), 7.28~7.09(m, 3H, ArH), 7.00(t, J=8.0 Hz, 2H, ArH), 5.77(dd, J=21.2, 9.0 Hz, 1H, NCH-P), 4.20~3.75(m, 4H, 2CH₂), 1.28~1.13(m, 6H, 2CH₃); ¹³C NMR(101 MHz, CDCl₃) δ : 164.8, 161.3, 136.5, 131.4, 130.0, 129.8, 128.9, 124.9, 123.1, 122.0, 115.9, 115.6, 112.3, 111.0, 63.8, 48.6, 16.5, 16.3; ¹⁹F NMR(376 MHz, CDCl₃) δ : -113.7 mg/kg; ³¹P NMR(162 MHz, CDCl₃) δ : 23.0 mg/kg; HRMS(ESI) C₂₀H₂₂FN₂O₄P[M+H]⁺ 理论值: 405.137 5, 实际值: 405.137 9.

O, O'-二异丙基- α -(4-氟苯基)- α -(3-吲哚甲酰胺基)甲膦酸酯(A₂₈): ²H NMR(400 MHz, DMSO) δ : 9.56(s, 1H, ArH), 8.03(d, J=7.0 Hz, 1H, NH), 7.76(s, 1H, ArH), 7.50(d, J=6.8 Hz, 2H, ArH), 7.37(d, J=7.5 Hz, 1H, ArH), 7.30~7.17(m, 3H, ArH), 7.00(t, J=7.9 Hz, 3H, ArH), 5.67(dd, J=21.3, 8.5 Hz, 1H, NCH-P), 4.73~4.51(m, 2H, 2CH), 1.38~0.91(m, 12H, 4CH₃); ¹³C NMR(101 MHz, DMSO) δ : 163.2, 161.3, 136.5, 132.0, 130.1, 128.6, 124.8, 123.1, 120.0, 115.7, 112.1, 111.6, 72.6, 72.2, 49.3, 24.3, 23.9, 23.3; ¹⁹F NMR(376 MHz, DMSO) δ : -114.1 mg/kg; ³¹P NMR(162 MHz, DMSO) δ : 20.9 mg/kg; HRMS(ESI) C₂₂H₂₆FN₂O₄P[M+H]⁺ 理论值: 433.169 1, 实际值: 433.169 2.

2 生物活性测试

2.1 细菌活性测试

2.1.1 实验材料

供试菌及来源: 普通标准菌株大肠杆菌 *E. coli* (ATCC25922), 铜绿假单胞杆菌 *P. aeruginosa* (ATCC9027), 金黄色葡萄球菌 *S. aureus* (ATCC6538) 来源于广东省微生物保藏中心; 多重耐药性细菌: N-*E. coli* 耐药性大肠杆菌(20151027074), N-*P. aeruginosa* 耐药性铜绿假单胞杆菌(20151025026), MR-

SA-耐甲氧西林金黄色葡萄球菌(20151027077), 均于贵州医科大学附属医院临床分离.

培养基: 肉汤 MH(B). 对照药: 氨苄西林(Ampicillin).

2.1.2 实验操作

MIC 测定, 细菌培养基的制备: MH(B)营养肉汤分装后于 121 °C 高压蒸汽灭菌锅中灭菌 20min. 实验菌液的制备: 以比浊管调整菌液浓度为 1×10^6 CFU/mL. 微量稀释法: 参照 NCCLS 标准采用微量稀释法进行. 生物安全柜使用前紫外灭菌 30min. 在 96 孔板第 1 行中用移液枪加入 20 μL 药液与 180 μL 培养基 MH(B)并混匀, 2~6 行每孔加入 100 μL , 从第 1 行中吸取 100 μL 加入第 2 行并混匀, 以此类推, 加到第 6 行, 最后吸取 100 μL 打到废液中, 得到 2, 4, 8, 16, 32, 64 倍稀释的药物. 第 7 行每孔加入氨苄西林 10 μL + 90 μL 培养基作为阳性对照, 第 8 行直接加入菌液作为阴性对照, 同时设立药物稀释浓度梯度和培养基作为空白对照. 加入菌液 100 μL , 37 °C 培养 24 h 后取出观察. 将 96 孔板放在黑色背衬下观察, 孔底呈圆点样的混浊沉淀为细菌生长, 孔内液体不显混浊疑似细菌生长被抑制, 每个化合物及阳性对照重复 3 次. 实验操作见参考文献[23].

2.2 抗癌活性测试

2.2.1 实验材料

细胞及来源: 人肺癌细胞 A549 由贵州医科大学药学院本课题组前期保存; 人结肠癌细胞 HT29 购于国家实验细胞资源共享服务平台; 人肾小管正常细胞 HK2 购于上海复祥生物科技有限公司.

培养基: RPMI-1640 培养基(10% 胎牛血清), DMEM/F12 培养基(10% 血清).

对照药: 辛二酰苯胺异羟肟酸(SAHA).

2.2.2 实验操作

按参考文献[24]采用 MTS 比色法对目标化合物 $A_1 - A_{28}$ 进行体外抗肿瘤活性测试. 贴壁细胞用 0.25% 胰蛋白酶消化传代. 将处于对数生长期的细胞制成单细胞悬液, 调整细胞数为 $5 \times 10^4 \sim 1 \times 10^5$ 个/mL 加于 96 孔培养板中, 每孔 100 μL , 6 个复孔, 周围用 PBS 填充提供水分, 于 37 °C, 5% CO₂ 培养箱中培养. 12~24 h 后, 待细胞贴壁后, 吸走旧的培养基, 将待测化合物用 DMSO 溶解成所需的浓度, 以培养基(10% 胎牛血清)稀释成 50 $\mu\text{mol/L}$, 25 $\mu\text{mol/L}$, 12.5 $\mu\text{mol/L}$, 6.25 $\mu\text{mol/L}$, 3.13 $\mu\text{mol/L}$, 1.56 $\mu\text{mol/L}$ 的终浓度加入到相应的孔板中, 每孔 100 μL , 并设置阳性对照与空白对照组(未经化合物处理的培养基). 置于 37 °C, 5% CO₂ 培养箱中培养 48 h 后, 每孔加入 5 μL MTS, 继续于培养箱中培养 3 h 后, 将 96 孔板于酶标仪(波长为 490nm)中测试吸光度值(OD), 计算细胞抑制率及半抑制浓度 IC₅₀, 实验重复 3 次. 细胞抑制率计算公式如下:

$$\text{抑制率} = \frac{\text{空白组} - \text{加药组}}{\text{空白组}} \times 100\%$$

空白组: 即未经化合物或阳性对照药处理; 加药组: 经化合物或阳性对照药处理.

3 结果与讨论

3.1 合成条件优化

结合前期工作^[7, 9]及按照文献[9]方法, 我们采用 HBTU 缩合剂, DIPEA 为相转移催化剂, CH₂Cl₂ 为反应溶剂, 在室温下搅拌反应 24 h, 产物 A_1 收率仅为 28.5%. 可能是杂环羧酸酰化活性低、中间体 4 亲核力弱及空间位阻大等原因, 加之反应时间长, 副产物多, 后处理及分离纯化十分困难. 为了缩短反应时间, 提高产物收率, 我们以合成 A_1 为例, 考察不同催化剂及其用量, 反应溶剂、温度、时间等参数对产物收率的影响, 优化其合成条件. 各反应参数对 A_1 收率的影响如下:

3.1.1 催化剂及其用量对 A_1 收率的影响

在原料比为 1:1(mmol), 设置反应温度 50 °C, 反应时间为 2 h, 采用催化剂 (C₄H₉)₄NBr, 溶剂 5mL

CH_3CN , 分别在催化剂与中间体 4a(mmol)用量比为 $0.5:1, 1.0:1, 2.0:1, 2.5:1$ 的条件下制备目标产物 A_1 . 发现用量比为 $2.0:1$ 和 $2.5:1$ 时 A_1 收率相对较高. 为了提高产物收率, 我们进一步考察了不同催化剂 DIPEA, DCC, DMAP 对 A_1 收率的影响, 实验结果见表 2.

表 2 不同催化剂及其物质的量对产物 A_1 收率的影响

编号	催化剂与中间体		催化剂量		
	4a 用量比 / mmol	$(\text{C}_4\text{H}_9)_4\text{NBr}$	DIPEA	DCC	DMAP
1	$0.5:1$	—	—	—	—
2	$1.0:1$	—	—	—	—
3	$1.5:1$	—	—	—	—
4	$2.0:1$	34.6	40.3	—	33.2
5	$2.5:1$	37.1	41.2	36.9	—

注 “—” 表示产物点增加不明显, 未分离.

结果表明, DIPEA 的催化效果最好, 当用量比增至 $2.5:1$ 时, 产物收率增大的幅度极小, 而 DIPEA 浪费较大, 且过多 DIPEA 存在反应体系中不利于目标物的分离纯化, 因此选择用量比为 $2.0:1$.

3.1.2 溶剂、反应温度及反应时间对 A_1 收率的影响

在室温下, 以催化剂 DIPEA 与中间体 4a 用量比为 $2:1$, 原料比为 $1:1(\text{mmol})$ 的条件下, 分别溶于二氯甲烷(CH_2Cl_2)、四氢呋喃(THF)、乙腈(CH_3COCH_3)、丙酮(CH_3CN)、甲苯($\text{C}_6\text{H}_5\text{CH}_3$)溶剂中搅拌反应体系 2 h , TLC 跟踪反应几乎无产物点. 再分别保持各反应体系微沸腾回流并搅拌反应体系 2 h 制备目标产物, 经分离纯化处理后, 发现以 THF 为反应溶剂 A_1 收率相对较高(50.8%). 由此, 我们进一步考察反应时间对 A_1 收率的影响, 实验结果见表 3.

表 3 不同溶剂、反应温度及反应时间对产物 A_1 收率的影响

编号	温度 / $^{\circ}\text{C}$	时间 / h	溶剂				
			CH_2Cl_2	CH_3COCH_3	THF	THF*	CH_3CN
1	$15\sim20\text{ }^{\circ}\text{C}$	2	—	—	—	—	—
2	保持微沸腾	2	43.2	35.4	50.8	—	47.5
3	保持微沸腾	3	—	—	—	—	—
4	保持微沸腾	4	—	—	67.4	—	—
5	保持微沸腾	5	70.5	62.9	79.7	82.3	67.2
6	保持微沸腾	6	73.3	—	80.4	81.3	—
7	保持微沸腾	7	74.6	—	75.1	—	—

注: 溶剂沸点: $\text{CH}_2\text{Cl}_2(39.8\text{ }^{\circ}\text{C}), \text{CH}_3\text{COCH}_3(56\text{ }^{\circ}\text{C}), \text{THF}(66\text{ }^{\circ}\text{C}), \text{CH}_3\text{CN}(81\text{ }^{\circ}\text{C}), \text{C}_6\text{H}_5\text{CH}_3(110\text{ }^{\circ}\text{C})$; THF* 为干燥处理.

从表 3 中看出: 在 THF($66\text{ }^{\circ}\text{C}$)反应溶剂中, 反应时间由 2 h 至 7 h , A_1 收率从 50.8% 增加到 80.4% , 同时结合 TLC 显示, 反应时间在 6 h 时副产物明显增加, 不利于后处理纯化; 延长反应至 7 h 产率反而降低, 因此, 确定 5 h 为最佳反应时间. 同时, 我们还重点考察对比 5 h 反应时间内不同溶剂回流状态及干燥 THF 溶液中 A_1 收率对比; 以及 $5\sim7\text{ h}$ 内 CH_2Cl_2 与 THF 溶剂中 A_1 收率对比. 实验结果表明: 用干燥处理的 THF 为反应溶剂, 保持反应体系微沸腾($66\text{ }^{\circ}\text{C}$)回流搅拌 5 h 获得 A_1 收率为 82.3% .

3.2 活性测试结果与讨论

3.2.1 抗菌活性

以氨苄西林(Ampicillin)为阳性对照药, 采用二倍稀释法对大肠杆菌(*E. coli*)、铜绿假单胞杆菌(*P. aeruginosa*)、金黄色葡萄球菌(*S. aureus*)及多重耐药菌: 耐药大肠埃希菌(N-*E. coli*)、耐药性铜绿假单胞杆菌(N-*P. aeruginosa*)、耐甲氧西林金黄色葡萄球菌(MRSA)进行最低抑菌浓度 MIC 测试, 实验结果见表 4.

表 4 目标物对不同细菌的最低抑菌浓度 MIC 值 / (mg · mL⁻¹)

化合物	R ₁	R ₂	R ₃	MIC/(mg · mL ⁻¹)					
				<i>E. coli</i>	<i>P. aeruginosa</i>	<i>S. aureus</i>	N-E. coli	N-P. aeruginosa	MRSA
A ₁	H	Et		16	8	16	>16	>16	>16
A ₂	H	iPr		4	8	4	16	>16	>16
A ₃	F	Et		8	8	16	16	>16	>16
A ₄	F	iPr		1	2	4	16	16	8
A ₅	H	Et		16	16	16	>16	>16	>16
A ₆	H	iPr		16	16	16	>16	>16	>16
A ₇	F	Et		16	8	16	>16	16	>16
A ₈	F	iPr		1	4	4	8	8	16
A ₉	H	Et		16	16	8	>16	>16	>16
A ₁₀	H	iPr		16	16	16	>16	>16	>16
A ₁₁	F	Et		16	16	16	>16	>16	>16
A ₁₂	F	iPr		16	8	8	>16	16	16
A ₁₃	H	Et		16	16	16	>16	>16	>16
A ₁₄	H	iPr		16	16	16	>16	>16	>16
A ₁₅	F	Et		16	16	16	>16	>16	>16
A ₁₆	F	iPr		16	16	16	>16	>16	>16
A ₁₇	H	Et		>16	16	16	>16	>16	>16
A ₁₈	H	iPr		>16	16	16	>16	>16	>16
A ₁₉	F	Et		>16	16	8	>16	>16	16
A ₂₀	F	iPr		16	16	16	>16	>16	16
A ₂₁	H	Et		16	8	4	>16	16	16
A ₂₂	H	iPr		2	1	8	16	>16	16
A ₂₃	F	Et		8	16	16	16	16	>16
A ₂₄	F	iPr		1	8	16	4	8	16
A ₂₅	H	Et		8	4	16	16	16	16
A ₂₆	H	iPr		4	16	8	16	8	8
A ₂₇	F	Et		2	1	1	8	8	4
A ₂₈	F	iPr		0.25	0.5	4	8	4	8
氨苄西林				0.1	0.05	0.1	2	1	2

注: 细菌溶液浓度为 1×10^6 CFU/mL, 化合物质量浓度为 160 mg/mL.

由表 4 可知, 部分化合物具有较好的抗菌活性, 尤其对大肠杆菌 (*E. coli*) 及铜绿假单胞杆菌 (*P. aeruginosa*) 的抑制活性较明显, 其中化合物 A₄, A₈, A₂₂, A₂₄, A₂₇, A₂₈ 对 *E. coli* 的 MIC 分别为 1, 1, 2, 1, 2, 0.25 mg/mL, 与对照药氨苄西林 (MIC = 0.1 mg/mL) 接近或相当; A₄, A₂₂, A₂₇, A₂₈ 对 *P. aeruginosa* 的 MIC 分别为 2, 1, 1, 0.5 mg/mL, 接近对照药的 MIC. 相比之下, 大部分化合物对金黄色葡萄球菌 (*S. aureus*) 和耐药菌不敏感, 但化合物 A₂₇ 对耐甲氧西林金黄色葡萄球菌 (MRSA) 抑制效果较好, 其 MIC 为 4 mg/mL, 与对照药氨苄西林 (MIC 为 2 mg/mL) 相当, 其次是化合物 A₂₈ 对耐药性大肠杆菌 (N-E. coli)、耐药性铜绿假单胞杆菌 (N-P. aeruginosa) 的 MIC 分别为 8 mg/mL, 4 mg/mL(阳性对照药分别为 2, 1 mg/mL).

3.2.2 抗癌活性

以 SAHA 为阳性对照药, 采用 MTS 比色法对人肺癌细胞 (A549), 人结肠癌细胞 (HT29) 以及人肾小管正常细胞 (HK2) 进行体外抗癌活性测试, 以化合物及阳性对照药 (SAHA) 浓度均为 50 μ mol/L 进行初筛, 实验结果见表 5.

表 5 目标化合物对肿瘤细胞抑制活性

化合物	抑制率/%			化合物	抑制率/%		
	A549	HT29	HK2		A549	HT29	HK2
A ₁	20.2±2.3	13.0±3.0	11.3±1.2	A ₁₅	16.5±0.7	31.5±11.3	14.3±2.4
A ₂	16.4±4.2	15.1±1.5	16.5±0.8	A ₁₆	24.4±6.8	73.9±1.4	11.6±0.6
A ₃	19.9±7.3	10.4±3.4	17.1±3.9	A ₁₇	7.4±2.7	31.6±6.2	12.6±3.0
A ₄	19.2±5.5	11.8±2.7	12.8±1.0	A ₁₈	8.7±1.2	36.9±5.8	14.7±1.5
A ₅	15.7±5.2	25.4±2.0	15.5±3.6	A ₁₉	11.1±1.6	39.5±4.3	18.3±9.4
A ₆	19.2±3.3	22.4±3.7	17.4±8.4	A ₂₀	10.8±0.2	41.3±3.7	17.6±7.7
A ₇	25.9±2.1	28.3±3.1	19.5±7.4	A ₂₁	31.0±11.9	31.2±2.6	19.7±8.6
A ₈	26.5±3.2	20.7±2.2	10.8±9.7	A ₂₂	35.2±7.6	37.5±4.0	28.5±3.1
A ₉	10.0±1.4	23.1±1.8	11.1±2.6	A ₂₃	36.0±13.2	40.8±5.1	25.5±6.3
A ₁₀	13.7±2.5	26.5±0.7	16.4±3.7	A ₂₄	43.6±8.2	78.1±2.3	17.2±0.9
A ₁₁	16.5±2.2	33.7±3.1	15.9±3.0	A ₂₅	33.9±6.4	32.3±9.1	18.4±3.2
A ₁₂	17.9±2.4	46.7±11.2	17.8±3.2	A ₂₆	32.7±9.3	41.1±8.6	14.2±4.1
A ₁₃	22.3±5.9	38.7±8.3	18.5±2.8	A ₂₇	45.3±4.1	43.8±2.3	13.6±1.5
A ₁₄	25.7±2.1	43.6±10.6	18.8±8.1	A ₂₈	76.9±3.2	69.6±0.2	16.4±6.8
SAHA	81.6±11.7	82.8±7.3	78.2±13.6				

注: 采用 MTS 比色法试验; A549 为人肺癌细胞; HT29 为人结肠癌细胞; HK20 为人肾小管正常细胞; SAHA 为阳性对照药.

由表 5 可知, 部分化合物具有由中等至好的抗癌活性, 其中化合物 A₁₆(R₁=-F, R₂=-iPr, R₃=6-甲-3 吡啶)抗肿瘤 HT29 的抑制率为 73.9%; 化合物 A₂₈(R₁=-F, R₂=-iPr, R₃=(1H)-3-吲哚)抗肿瘤 A549, HT29 的抑制率分别为 76.9% 和 69.6%, 与对照药 SAHA(抑制率 81.6%, 82.8%)接近; 尤其是 A₂₄(R₁=-F, R₂=-iPr, R₃=6-喹啉)抗 HT29 活性明显, 抑制率为 78.1%, 与对照药抑制率接近. 而化合物对人肾小管正常细胞(HK2)的抑制率为 11.1%~28.5%. 而对照药 SAHA 作用于 HK2 时存活率仅为 22.8%, 相比较之下, 对照药 SAHA 对正常细胞(HK2)的损伤程度更大. 整体来看, 大多数化合物的抗肿瘤活性较差, 但少数化合物对特定的肿瘤细胞显示不错的活性.

我们进一步测试了化合物 A₁₆, A₂₄ 和 A₂₈ 的 IC₅₀ 值, 结果见表 6. 实验结果表明, 化合物 A₂₈ 对 A549 的抑制活性较好, 其 IC₅₀ 值为 17.1 μmol/L(对照药 IC₅₀ 为 12.5 μmol/L); 化合物 A₂₄ 对 HT29 的 IC₅₀ 为 18.0 μmol/L, 与对照药 IC₅₀ 为 14.1 μmol/L 接近. 化合物 A₂₄, A₂₈ 对 HK2 IC₅₀ 值均超过 120 μmol/L(对照药 IC₅₀ 为 33.7 μmol/L), 说明化合物对癌细胞有较好的抑制活性, 并对人肾小管正常细胞的毒性较小.

表 6 化合物 A₁₆, A₂₄ 和 A₂₈ 抗 A549, HT29, HK2 细胞 IC₅₀

化合物	IC ₅₀ /(μmol·L ⁻¹)		
	A549	HT29	HK2
A ₁₆	—	36.2±1.2	130.9±0.7
A ₂₄	—	18.0±0.7	124.7±1.3
A ₂₈	17.1±1.3	34.6±0.9	126.8±2.4
SAHA	12.5±1.8	43.3±1.1	33.7±1.2

注: IC₅₀ 值表示 50% 细胞存活浓度.

3.2.3 结构与活性关系(SAR)

从化合物结构与活性数据关系(SAR)分析来看(图 3), 当取代基 R₁=F, R₂=Et 或 iPr, R₃ 为呋

喃、噻吩、喹啉或呡哚杂环时, 大部分化合物抑制 *E. coli* 和 *P. aeruginosa* 的活性较明显。此外, 当 R₁, R₂ 不变, R₃ 为喹啉或呡哚杂环时, 部分化合物对肿瘤细胞 A549 和 HT29 的抑制活性较好。因此, 对该类化合物进一步的结构改造与优化, 为获得新型杂环磷酸酯抗菌、抗癌化合物单体, 具有重要的理论和实验意义。

4 结 论

通过反应条件优化合成了一系列新型杂环磷酸酯衍生物 A₁—A₂₈, 并测试了目标物生物活性。实验结果表明, 部分化合物具有较好的抗菌、抗癌活性, 如化合物 A₄, A₂₂, A₂₇, A₂₈ 抗 *E. coli* 和 *P. aeruginosa* 抑制率与对照药氨苄西林(MIC=0.1 mg/mL)接近或相当, 尤其是化合物 A₂₇ 抗耐甲氧西林金黄色葡萄球菌(MRSA)抑制效果明显。同时, 化合物 A₂₄ 和 A₂₈ 抗肿瘤活性也明显, A₂₄ 对 HT29 的 IC₅₀ 与对照药接近, A₂₈ 对 A549 的 IC₅₀ 与对照药相当。值得注意的是, 所有化合物对人肾小管正常细胞(HK2)的存活率超过 70%, 相比对正常细胞(HK2)的毒性弱于对照药 SAHA, 具有进一步的研究意义。

参考文献:

- [1] DANDIA A, PAREWA V, SHARMA A. An Approach towards Green Switch through Nanocatalysis for the Synthesis of Biodynamic Heterocycles [M] //Green Chemistry: Synthesis of Bioactive Heterocycles. New Delhi: Springer India, 2014: 129-161.
- [2] COSIMO D A. Privileged Heterocyclic Scaffolds in Chemical Biology and Drug Discovery: Synthesis and Bioactivity [J]. Chemistry of Heterocyclic Compounds, 2017, 53(3): 239.
- [3] KONG L B, YAN S J, LIN J. Heterocyclic Ketene Amines Leading Molecules to Construct Molecular Diversity Fused Heterocyclic Compounds [J]. Progress in Chemistr, 2018, 30(5): 639-657.
- [4] 陈永飞. 具有生物活性杂环化合物的设计、合成及其研究 [D]. 兰州: 兰州大学, 2010.
- [5] 王伟, 张国平, 宋宝安, 等. O, O'-二烷基-α-(取代苯并噻唑-2-基)氨基-(取代苯基甲基)膦酸酯的合成与抗烟草花叶病毒活性 [J]. 有机化学, 2007, 27(2): 279-284.
- [6] CHEN M H, CHEN Z, SONG B A, et al. Synthesis and Antiviral Activities of Chiral Thiourea Derivatives Containing an α-Aminophosphonate Moiety [J]. Journal of Agricultural and Food Chemistry, 2009, 57(4): 1383-1388.
- [7] LIU J Z, SONG B A, BHADURY P S, et al. Synthesis and Bioactivities of α-Aminophosphonate Derivatives Containing Benzothiazole and Thiourea Moieties [J]. Phosphorus, Sulfur, and Silicon and the Related Elements, 2012, 187(1): 61-70.
- [8] 刘静姿, 胡俊锋, 史大斌, 等. 手性膦酸酯硫脲的抗 TMV 活性及作用机制研究 [J]. 西南师范大学学报(自然科学版), 2015, 40(1): 39-44.
- [9] LIU J Z, SONG B A, FAN H T, et al. Synthesis and in Vitro Study of Pseudo-Peptide Thioureas Containing A-Aminophosphonate Moiety as Potential Antitumor Agents [J]. European Journal of Medicinal Chemistry, 2010, 45(11): 5108-5112.
- [10] 杨家强, 谷晴, 束波, 等. O, O'-二烷基-α-苯基-α-(取代苯甲酰氧基)-甲基膦酸酯的合成与抗肿瘤活性 [J]. 有机化学, 2013, 33(5): 1113-1118.
- [11] LIU J Z, LIAO P, HU J F, et al. Synthesis and Antitumor Activities of Chiral Dipeptide Thioureas Containing an Alph-Aminophosphonate Moiety [J]. Molecules, 2017, 22(2): 238.
- [12] LIAO P, HU S Q, ZHANG H, et al. Study on Anti-Proliferative Activity in Cancer Cells and Preliminary Structure-Activity Relationship of Pseudo-Peptide Chiral Thioureas [J]. Bulletin of the Korean Chemical Society, 2018, 39(3): 300-304.
- [13] 廖鹏. 寡肽手性硫脲化合物的合成及生物活性研究 [D]. 贵阳: 贵州医科大学, 2018.

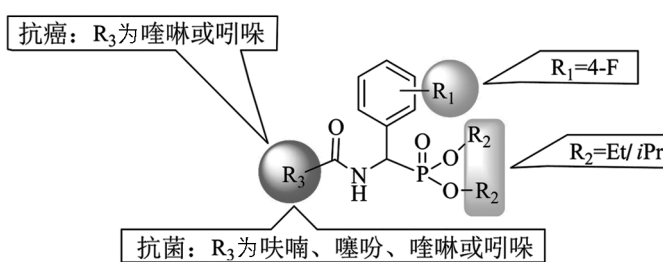


图 3 化合物结构与活性关系(SAR)

- [14] 杨家强, 胡月维, 谷 晴, 等. 新型喹啉酮类膦酸酯衍生物的合成与抗菌活性 [J]. 有机化学, 2014, 34(4): 829-834.
- [15] TAKAHASHI H, YOSHIOKA M, IMAI N, et al. Simple and Improved Preparation of α -Aminophosphonic Acid Derivatives, Key Building Blocks of Phosphonopeptides [J]. Synthesis, 1994, 1994(8): 763-764.
- [16] 宋宝安, 蒋木庚. α -氨基膦酸及其酯的合成及生物活性的研究进展 [J]. 有机化学, 2004, 24(8): 843-856.
- [17] ALI SHAFAKAT ALI N, ZAKIR S, PATEL M, et al. Synthesis of New α Aminophosphonate System Bearing Indazole Moiety and Their Biological Activity [J]. ChemInform, 2012, 43(35): 39-43.
- [18] DENG S L, BAGLIN I, NOUR M, et al. Synthesis of Ursolic Phosphonate Derivatives as Potential Anti-HIV Agents [J]. Phosphorus, Sulfur, and Silicon and the Related Elements, 2007, 182(5): 951-967.
- [19] ZHANG G P, HAO G F, PAN J K, et al. Asymmetric Synthesis and Bioselective Activities of α -Aminophosphonates Based on the Dufulin Motif [J]. Journal of Agricultural and Food Chemistry, 2016, 64(21): 4207-4213.
- [20] HELLAL A, CHAFAA S, CHAFAI N, et al. Synthesis, Antibacterial Screening and DFT Studies of Series of α -Aminophosphonates Derivatives from Aminophenols [J]. Journal of Molecular Structure, 2017, 1134: 217-225.
- [21] AWAD M K, ABDEL-AAL M F, ATLAM F M, et al. Synthesis of New α -Aminophosphonates Containing 3-Amino-4-(3H) Quinazolinone Moiety as Anticancer and Antimicrobial Agents: DFT, NBO, and Vibrational Studies [J]. Current Organic Synthesis, 2018, 15(2): 286-296.
- [22] KABOUDIN B, MORADI K. A Simple and Convenient Procedure for the Synthesis of 1-Aminophosphonates from Aromatic Aldehydes [J]. Tetrahedron Letters, 2005, 46(17): 2989-2991.
- [23] 崔玉莹, 王宪贝, 李玉坤, 等. 金银花、连翘水煎液对金黄色葡萄球菌的抑制作用研究 [J]. 光明中医, 2017, 32(18): 2637-2638.
- [24] 尤 玲. 基于M2型丙酮酸酶(PKM2)为靶点的灯盏乙素抗肿瘤机制研究 [D]. 贵阳: 贵州医科大学, 2017.

Synthesis and Bioactivity of Novel Phosphate Derivatives Containing Heterocyclic Moieties

HU Shi-qin, FAN Ling-ling, LIU Jing-zi, HE Bin,
SHEN Xiang-chun, LIAO Shang-gao, LI Yong-jun

School of Pharmacy, Guizhou Medical University / Provincial Key Laboratory of Pharmaceutics / Engineering Research Center for the Development and Application of Ethnic, Guizhou Medicine and TCM, Ministry of Education, Guiyang 550004, China

Abstract: In order to obtain broad-spectrum and highly effective bioactivity lead compounds, a series of novel phosphonate derivatives containing heterocyclic moieties were synthesized with a simple method based on our preliminary research and combined with the drug design principle. Their structures were confirmed and characterized by IR, (^1H , ^{13}C , ^{31}P and ^{19}F) NMR and HRMS (ESI). A test of their bioactivity showed that some compounds had antibacterial activity against *E. coli*, *P. aeruginosa*, *S. aureus* and MRSA (Methicillin-resistant *S. aureus*) in some degree. Compounds A₄, A₈, A₂₂, A₂₄, A₂₇ and A₂₈ had a good antibacterial activity close or equal to that of the control agent Ampicillin. At the same time, it was found that compounds A24 and A28 had antitumor activity against tumor cell HT29 and human lung cancer cell A549, their IC_{50} being $18.0 \pm 0.7 \mu\text{mol/L}$ and $17.1 \pm 1.3 \mu\text{mol/L}$, respectively, which was close to that of the control drug SAHA, whose IC_{50} was $14.3 \pm 1.1 \mu\text{mol/L}$ and $12.5 \pm 1.8 \mu\text{mol/L}$, respectively. Further SAR (structure-activity relationship) studies based on our present results will be of significance for the structural modification and optimization of these compounds.

Key words: heterocyclic; phosphonate; synthesis; antibacterial activity; antitumor activity

